

**ЗАСТОСУВАННЯ В АВТОМАТИЦІ  
ПІДКРІПЛЕНИХ ЕЛІПСОЇДАЛЬНИХ ОБОЛОНОК  
ПІД ДІЄЮ НЕСТАЦІОНАРНОГО НАВАНТАЖЕННЯ**

***Н. В. Майбородіна, кандидат фізико-математичних наук  
В. П. Герасименко, асистент  
ВП НУБіП України “Ніжинський агротехнічний інститут”  
e-mail: nni.elektrik@gmail.com***

**Анотація.** Подано постановку задач про вимушені коливання підкріплених еліпсоїдальних оболонок під дією нестационарного навантаження, побудовано чисельний алгоритм, наведено аналіз результатів розрахунків.

**Ключові слова:** підкріплені еліпсоїдальні оболонки, геометрично нелінійна теорія, нестационарне навантаження

Тонкостінні конструкції оболонкового типу становлять широкий клас об'єктів, які використовуються в сучасній автоматичній, радіоелектротехніці, радіолокації, гіроскопії та інших галузях сучасної техніки. Форма деталей радіоапаратів та автоматичних пристроїв, дзеркала, випромінювачі антен і лазерів можуть мати форму еліпсоїдальної оболонки. Найбільш дослідженими є задачі про гармонічні коливання підкріплених оболонок простої геометрії (циліндричні, конічні, сферичні) [1]. Потреби теорії та сучасної техніки, потребують розширення класу досліджуваних задач, зокрема, дослідження динамічної поведінки підкріплених оболонок більш складної геометрії [2, 4].

**Мета досліджень** – проаналізувати задачу про вимушені коливання дискретно підкріпленої поперечними ребрами еліпсоїдальної оболонки під дією нестационарного розподіленого навантаження.

**Матеріали та методика досліджень.** Складність розв'язання аналітичними методами задач для оболонок складної форми, потребує застосування чисельних підходів [3].

Оболонка постійної товщини  $h$  віднесена до гаусевої криволінійної системи координат  $\alpha_1, \alpha_2$ . Процеси вимушених коливань еліпсоїдальної оболонки розглядаються в межах гіперболічної системи нелінійних диференціальних рівнянь теорії оболонок типу Тимошенка. Для деформацій і напружень використовується геометрично нелінійний варіант теорії оболонок типу Тимошенка в квадратичному наближенні [2].

При побудові математичної моделі деформування  $j$ -го підкріплюючого ребра, спрямованого вздовж осі  $\alpha_2$  будемо виходити з гіпотези недеформованості поперечного перерізу підкріплюючого елемента. Деформаційні співвідношення для  $j$ -го підкріплюючого ребра задано в

межах геометрично нелінійного варіанта теорії стержнів типу Тимошенка в квадратичному наближенні. Умови жорсткого контакту між компонентами вектора переміщень центру ваги поперечного перерізу  $j$ -го ребра та компонентами узагальненого вектора переміщення серединної поверхні [2].

Рівняння коливань у гладкій області та рівняння коливань на  $j$ -й лінії розриву мають вигляд [2]. Розглядаються граничні умови для вільно опертого краю в напрямку координати  $\alpha_2$ :  $T_{11} = 0$ ,  $T_{12} = 0$ ,  $U_3 = 0$ ,  $M_{11} = 0$ ,  $M_{12} = 0$  та для жорстко защемленого краю в напрямку координати  $\alpha_1$ :  $\bar{U}(\alpha_{10}, \alpha_2) = \bar{U}(\alpha_{1N}, \alpha_2) = 0$ ;  $\bar{U}(\alpha_1, \alpha_{20}) = \bar{U}(\alpha_1, \alpha_{2N}) = 0$ .

Рівняння коливань являють собою систему нелінійних диференціальних рівнянь у частинних похідних по змінних  $s_1, s_2, t$  за наявності просторових розривів по координаті  $s_2$ . Чисельний алгоритм: шукається розв'язок у гладкій області еліпсоїдальної оболонки й на лініях просторових розривів. Застосовується інтегроінтерполяційний метод побудови різницевих схем по просторових координатах та явна скінченно-різницева апроксимація по часовій координаті. Перехід від неперервної системи до скінченно-різницевої: скінченно-різницева апроксимація рівнянь у зусиллях – моментах і деформаціях [2].

При дослідженні умов стійкості різницевих рівнянь використовуються умова  $\Delta t \leq 2/\omega$ , де  $\omega = \max(\omega_0, \omega_j)$ ,  $j = 1, 2, \dots, J$  – максимальні частоти власних коливань відповідно обшивки та  $j$ -го підкріплюючого елемента.

**Результати досліджень.** Розглянуто задачу вимушених коливань поперечно підкріпленої частини еліпсоїдальної оболонки  $D = \{\alpha_{10} \leq \alpha_1 \leq \alpha_{1N}, \alpha_{20} \leq \alpha_2 \leq \alpha_{2N}\}$ . На підкріплену оболонку діє

розподілене нормальне навантаження  $P_3(\alpha_1, \alpha_2, t) = A \cdot \sin \frac{\pi t}{T} [\eta(t) - \eta(t - T)]$ ,

де  $A$  – амплітуда навантаження,  $T$  – тривалість навантаження. У розрахунках:  $A = 10^6 \text{ Па}$ ;  $T = 50 \cdot 10^{-6} \text{ с}$ . Умови при  $t = 0$  для узагальненого вектора переміщень нульові.

Геометричні параметри конструкції:

$$\alpha_{10} = \frac{\pi}{12}, \quad \alpha_{1N} = \pi - \frac{\pi}{12}, \quad \alpha_{20} = -\frac{\pi}{2}, \quad \alpha_{2N} = \frac{\pi}{12}, \quad \frac{a}{h} = 60, \quad h_j = 4 \cdot h,$$

$$F_j = 4 \cdot h^2.$$

Поперечно підкріплюючі елементи розміщувалися вздовж координати  $\alpha_2$  в перерізах  $\alpha_{1j} = \frac{7}{24} \pi + \frac{5}{24} \pi \cdot j$ ,  $j = 0, 1, 2$ .

Фізико-механічні параметри конструкції:

$$E_1 = 210 \text{ ГПа}, \quad E_2 = \mu E_1, \quad G_{12} = \lambda E_1, \quad G_{13} = G_{23} = \frac{E_1}{d},$$

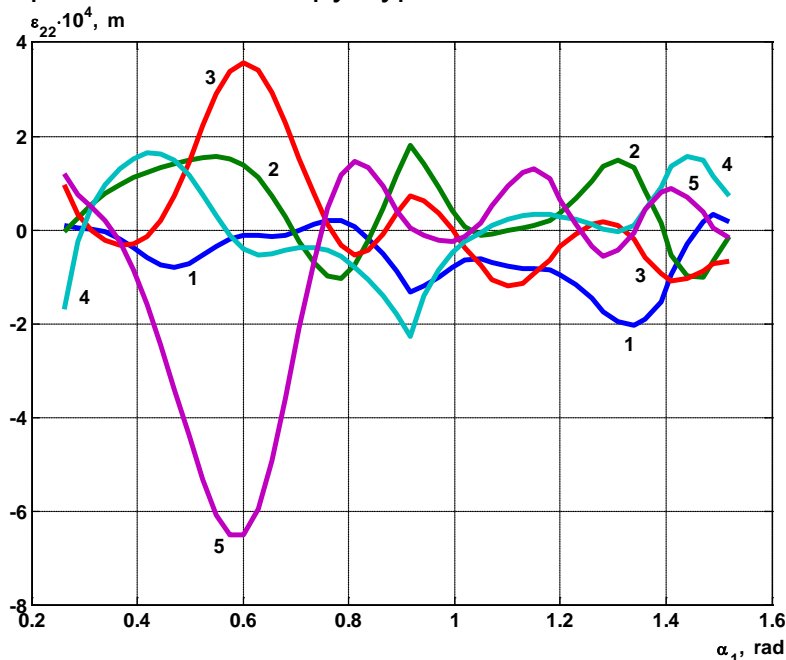
$$\rho = 2,7 \cdot 10^3 \text{ кг/м}^3.$$

При цьому,  $\lambda$ ,  $\mu$ ,  $\nu_{12}$  приймають значення:

1.  $\mu = 2$ ;  $\lambda = 0,3$ ;  $\nu_{12} = 0,075$ ; 2.  $\mu = 1,35$ ;  $\lambda = 0,215$ ;  $\nu_{12} = 0,122$ ;
3.  $\mu = 1$ ;  $\lambda = 0,385$ ;  $\nu_{12} = 0,3$ ; 4.  $\mu = 0,741$ ;  $\lambda = 0,159$ ;  $\nu_{12} = 0,165$ ;
5.  $\mu = 0,5$ ;  $\lambda = 0,125$ ;  $\nu_{12} = 0,15$ .

Фізико-механічні параметри ребер:  $E_j = E_2$ ,  $G_j = G_{12}$ ,  $\rho_j = \rho$ .

Розрахунки проводилися на часовому інтервалі  $t = 40T$ . На рис. 1 приведено криві для величини  $\varepsilon_{22}$  в момент часу  $t = 8T$  для вищенаведених п'яти випадків значень параметрів  $\mu$ ,  $\lambda$ ,  $\nu_{12}$  (з огляду на симетрію, приводяться залежності по координаті  $\alpha_1$  в діапазоні  $\pi/12 \leq \alpha_1 \leq \pi/2$ ). Розглядався час досягнення величиною  $\varepsilon_{22}$  максимального значення по модулю. З приведенного графічного матеріалу можна візуально визначити місця розміщення підкріплюючих ребер та їх вплив на деформований стан структури.



**Залежність величини  $\varepsilon_{22}$  від просторової координати  $\alpha_1$  у перерізі  $\alpha_2 = 0$**

Для третього варіанта (випадок ізотропії) графік  $\varepsilon_{22}$  наближається до графіка другого варіанта. Це означає, що другий варіант ортотропії відповідає ізотропному випадку. Величина максимальної деформації по модулю для п'ятого варіанта приймає значення 6,5, а для третього ізотропного варіанта 3,6, що приблизно в 2 рази більше.

### Висновки

Отже, розглянуті фізико-механічні параметри значно впливають на деформований стан дискретно підкріплених еліпсоїдальних ортотропних оболонок під дією нестационарного навантаження.

### Список літератури

1. Свободные колебания элементов оболочечных конструкций / [Григоренко Я. М., Беспалова Е. И., Китайгородский А. Б., Шинкарь А. И.]. – К. : Наук. думка, 1986. – 172 с.
2. Мейш В. Ф. К расчету неосесимметричных колебаний дискретно подкрепленных поперечными ребрами гибких эллипсоидальных оболочек при нестационарных нагрузках / В. Ф. Мейш, Н. В. Майбородина // Прикл. механика. – 2008. – № 10. – С. 63–73.
3. Самарский А. А. Теория разностных схем / А. А. Самарский. – М. : Наука, 1977. – 656 с.
4. Mohamad S. Q. Recent research advances in the dynamic behavior of shells: 1989–2000, Part 2: Homogeneous shells // Appl. Mech. Rev. – September 2002. – Volume 55, Issue 5. P. 415–435.

### ИСПОЛЬЗОВАНИЕ В АВТОМАТИКЕ ПОДКРЕПЛЕННЫХ ЭЛЛИПСОИДАЛЬНЫХ ОБОЛОЧЕК ПОД ДЕЙСТВИЕМ НЕСТАЦИОНАРНОЙ НАГРУЗКИ

*Н. В. Майбородина, В. А. Герасименко*

**Аннотация.** *Представлена постановка задач о вынужденных колебаниях подкрепленных эллипсоидальных оболочек под действием нестационарной нагрузки, построен численный алгоритм, приведен анализ результатов.*

**Ключевые слова:** *подкрепленная эллипсоидальная оболочка, геометрически нелинейная теория, нестационарная нагрузка*

### USE IN AUTOMATION SUPPORTED ELLIPSOIDAL SHELLS UNDER NONSTATIONARY LOAD

*N. Mayborodina, V. Gerasymenko*

**Annotation.** *The statement of problems of forced vibrations of supported ellipsoidal shells under nonstationary loads is presented. The numerical algorithm of solving is constructed and analysis of obtained results is given.*

**Key word:** *supported ellipsoidal shells, geometrically nonlinear theory, nonstationary load*